

The Expression of p57 and ki-67 and Its Clinical Significance in Hydatidiform Mole

Leilei Zhang¹, Fangfang Nan¹, Yingzi Zhang¹, Xiangsheng Zhang²

¹Department of Gynaecology and Obstetrics, Binzhou Medical University Hospital, Binzhou Shandong

²Pathological Teaching and Research Office of Binzhou Medical University, Binzhou Shandong

Email: zhangxsh0806@163.com

Received: Feb. 25th, 2019; accepted: Mar. 8th, 2019; published: Mar. 19th, 2019

Abstract

Objective: To analyze clinical-pathological features of complete hydatidiform moles (CHM), partial hydatidiform moles (PHM) and hydropic abortion (HA) and to study the significance of p57 and ki-67 in the diagnosis. **Methods:** The immunohistochemical expression of p57 and ki-67 protein was investigated using paraffin-embedded tissue sections in histologically unequivocal cases of complete mole (n = 46), partial mole (n = 32), hydropic abortion (n = 10) and normal mature placentas (n = 10). **Results:** 1) 45 cases of expression of p57 were negative; 1 case was weakly positive in the CHM. In contrast, it was strongly and continuously expressed in 32 cases of PHM and 10 of HA. 2) In CHM, expression of ki-67 was ++11 cases (23.9%), +++35 cases (69.1%); in PHM, expression of ki-67 was +5 cases (15.5%); ++24 cases (75.0%), +++3 cases (9.5%). 3) The difference of p57 expression between CHMs and PHMs, CHMs and HAs was statistically significant (P < 0.01), and the difference of ki-67 expression between PHMs and CHMs was statistically significant (P < 0.01). **Conclusions:** p57 and ki-67 immunostaining results correlate well with morphological features of molar pregnancies and are helpful in differential diagnosis of CHM from PHM and HA.

Keywords

p57, ki-67, Complete Hydatidiform, Partial Hydatidiform Moles, Hydropic Abortion, Immunohistochemical

p57、ki-67联合HCG在水泡状胎块中的表达及意义

张磊磊¹, 南芳芳¹, 张英姿¹, 张祥盛²

¹滨州医学院妇产科教研室, 山东 滨州

²滨州医学院病理学教研室, 山东 滨州

Email: zhangxsh0806@163.com

收稿日期: 2019年2月25日; 录用日期: 2019年3月8日; 发布日期: 2019年3月19日

摘要

目的: 分析完全性水泡状胎块(CHM)、部分性水泡状胎块(PHM)及水肿流产胎(HA)临床病理特点, 检测p57蛋白、ki-67抗原的表达在诊断和鉴别诊断中的意义。**方法:** 应用免疫组化S-P法对46例完全性水泡状胎块, 32例部分性水泡状胎块, 10例绒毛水肿及10例正常绒毛(NMPs)进行p57、ki-67免疫组化检测, 用统计学方法计算其表达情况与临床分型的关系。**结果:** 1) 在CHM中, 45例绒毛细胞滋养层p57阴性, 1例部分细胞表达; 在PHM、32例均阳性, 表达强度+11例, ++15例, +++6例; 绒毛水肿和正常绒毛p57为阳性表达。2) 在CHM中, ki-67表达强度++11例(23.9%), +++35例(69.1%); PHM中ki-67均阳性, 表达强度+5例(15.5%); ++24例(75.0%), +++3例(9.5%) HA ki-67表达强度在2%~6%。3) 经统计学分析, p57表达在CHM与PHM及HA之间均存在显著性差异($P < 0.05$), 而PHM与HA之间无显著性差异($P > 0.05$)。ki-67在CHM、PHM及HA三者之间均存在显著性差异($P < 0.05$)。作为对照的正常绒毛组织免疫组化结果显示, p57、ki-67均阳性表达。**结论:** p57、ki-67免疫组化结果与水泡状胎块的组织表型关系密切, 对CHM、PHM和HA的鉴别诊断有重要作用。

关键词

p57, ki-67, 完全性水泡状胎块, 部分性水泡状胎块, 水肿流产胎, 免疫组化

Copyright © 2019 by author(s) and Hans Publishers Inc.

This work is licensed under the Creative Commons Attribution International License (CC BY).

<http://creativecommons.org/licenses/by/4.0/>



Open Access

1. 引言

水泡状胎块(hydatidiform moles)是一组与妊娠相关的滋养细胞疾病, 以雌异配体性或雄性异型或雄性异型的发生(diandric diploid conceptus)分为完全性水泡状胎块(complete hydatidiform moles, CHM)和部分性水泡状胎块(partial hydatidiform moles, PHM)两种类型。CHM、PHM、水肿流产的水肿绒毛、形态结构异常(非胎块)绒毛病变等不同性质的病变在组织学形态上存在一定重叠[1]-[6], 并且随着临床影像学检查手段的普遍应用使得大部分怀疑水泡状胎块病人得到手术干预提前, 使得部分病例标本, 尤其是早期和早早期水泡状胎块缺乏典型的组织形态学改变, 进一步加大了诊断和鉴别诊断难度。早期水泡状胎块即使对于具有最好诊断技能的病理医师也是一种挑战[7]。我们对78例水泡状胎块进行临床病理观察和免疫组化, 以期对水泡状胎块进行正确诊断和分型, 从而使患者能够得到及时的治疗和干预。

2. 材料与方法

2.1. 材料

78例水泡状胎块标本来自五家医疗单位, 37例为我院病理科2010~2017年间存档资料中作者经历病

例, 41 例来自作者受聘的 3 家医院和 1 家外检公司诊断病例。临床资料和大体描述来自病理送检单记录。标本均经常规甲醛固定, 逐级乙醇脱水, 石蜡包埋, 常规制片, HE 染色, 光镜观察。免疫组化资料 37 例为送检单位诊断原始切片, 41 例另选有代表性蜡块 1 个, 切片 3 张, 行 HE 和 p57 及 ki-67 免疫组化染色。选取水肿绒毛 10 例和正常绒毛 10 例作为对照组。

2.2. 方法

2 名病理医生共同阅片。参照 2004 年 WHO 分类标准及相关文献病变分为完全性水泡状胎块部分性水泡状胎块[8]。以末次月经第一日延后 2 周为起始日, 刮宫时间为终止日, 完全性水泡状胎块分为经典型(12 周以上)、早期(8~12 周)和早早期(不足 8 周)。免疫组化鼠抗人单克隆抗体 p57 (克隆号: 57P06)、ki-67 和 SP 试剂盒均购自福州迈新生物技术开发有限公司。免疫组化采用 SP 法, 以 PBS 代替一抗作为阴性对照, 以已知阳性病例组织作为阳性对照物。结果判定标准: p57kip2 蛋白和 ki-67 阳性染色定位于细胞滋养层细胞核, 以细胞核出现清晰的棕黄色颗粒定为阳性; “-”为无明显阳性细胞; “+”为阳性细胞占 5%~25%; “++”为阳性细胞占 26%~50%; “+++”为阳性细胞 > 50%。采用 SPSS 11.5 统计软件, 计数资料应用 χ^2 检验, 等级资料比较用 Ridit 分析。

3. 结果

3.1. 一般资料

患者年龄从 21~49 岁, 平均年龄 32.7 岁。在诊断为水泡状胎块时, CHM 的 β -HCG 平均值 301,920.46 mIU/ml (13,000~2,580,000 mIU/ml)较 PHM 的 β -HCG 平均值 125,806.38 mIU/ml (3680~763,000 mIU/ml)高; CHM 的平均孕周为 10 + 3 W, PHM 为 10 + 4 W。

3.2. 病理改变

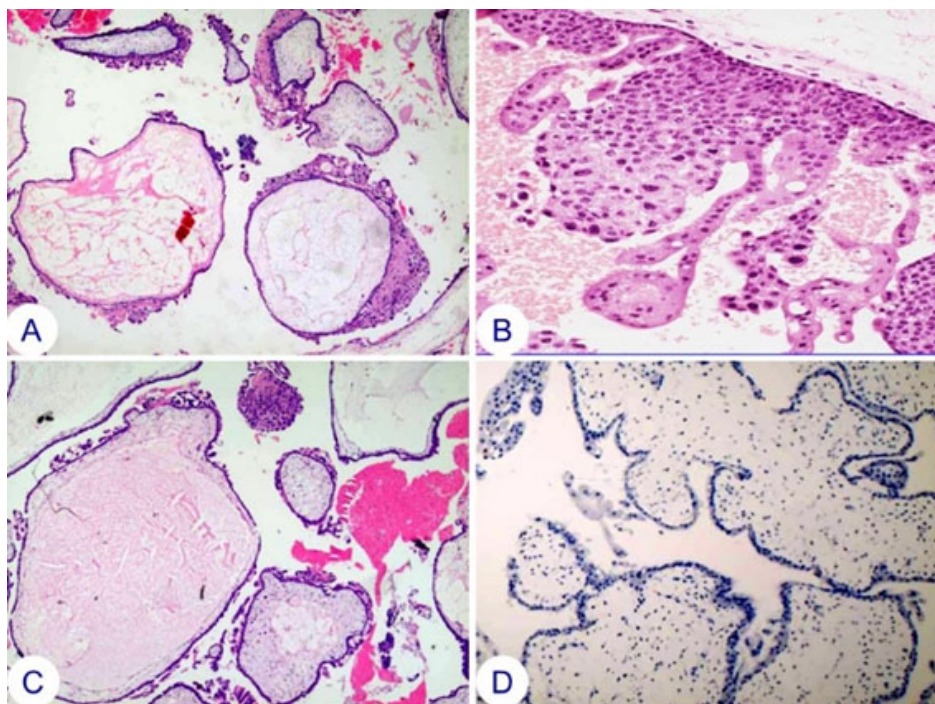
1) 完全性水泡状胎块 46 例, 其中经典型 16 例, 早期 22 例, 早早期 8 例。巨检经典型可见明显水泡, 水泡 1~5 mm 大小, 透明, 间有纤细的纤维组织连接, 状似葡萄。早期和早早期水泡不明显或无水泡。镜检经典型绒毛为单一水肿绒毛, 绒毛内无血管或很少血管, 中央池形成, 滋养细胞增生明显, 大部分环绕绒毛, 也见于绒毛间, 且有不典型性, 不见妊娠囊、羊膜、脐带和胚胎。早期绒毛呈复杂球茎状突起(花椰菜样), 绒毛间质非水肿性或轻度水肿, 可呈嗜碱性粘液样, 富于细胞, 常见间质凋亡和核碎裂, 绒毛间质内可见迷宫样的未成熟性血管网, 绒毛和绒毛板下灶状的 CT 和 ST 增生, 并有非典型性滋养细胞(图 1)。早早期与早期的病变相比较, 间质嗜碱性粘液样更明显, 血管生成呈细胞索, 常见环形滋养细胞出芽和增生, 核碎裂和凋亡百分比更高(图 2)。

2) 部分性水泡状胎块 32 例, 镜检有两种水肿和间质纤维化绒毛, 绒毛外缘不规则, 锯齿状, 形成小圆而规则的假包涵体, 滋养细胞轻度局限性增生, 间质中可见分支小管状毛细血管网, 较少扩张, 常含有核红细胞, 可见胚胎/胎儿成分(图 3)。

3) 水肿绒毛部分绒毛水肿, 水肿程度不等, 部分没有水肿, 水肿绒毛无滋养细胞增生, 无水腫绒毛可见增生, 但增生细胞位于绒毛一段, 有一定极性。免疫组化 p57 阳性, 而 ki-67 阳性指数低于 10%(图 4)。

3.3. p57 蛋白表达的检测

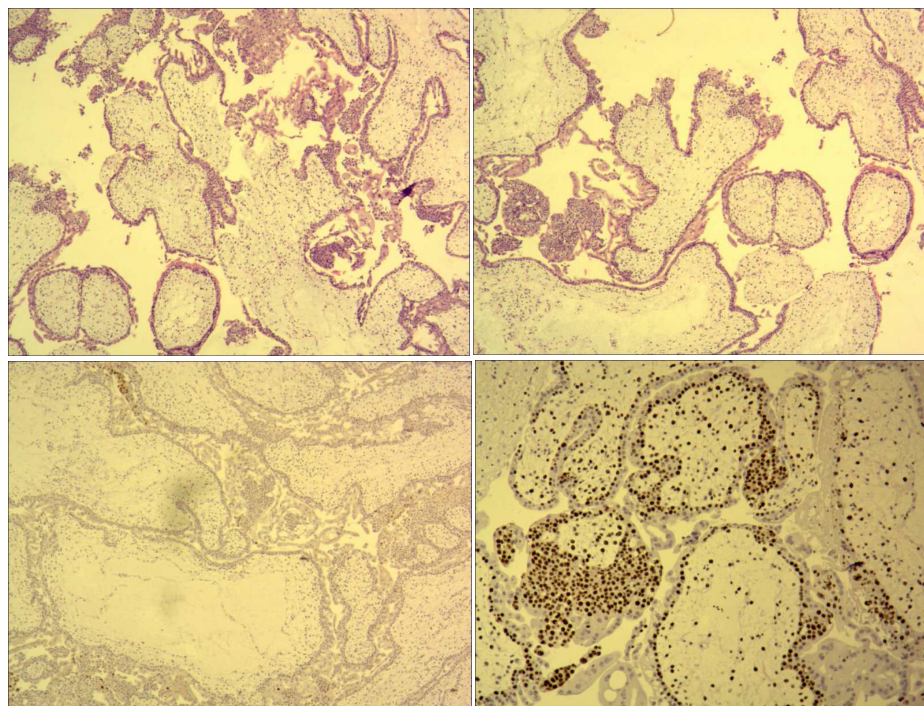
p57 蛋白阳性染色定位于细胞滋养层细胞核, 阳性细胞核出现清晰的棕黄色颗粒, 每例随机计数 10 个绒毛的阳性数和细胞滋养层总数, 求其百分比(图 5)。78 例水泡状胎块的 p57 检测结果见表 1、表 2。



经典型。A. 弥漫性绒毛水肿；B. 弥漫性滋养细胞增生；C. 绒毛间质血管消失；D. p57 阴性。

Figure 1. Complete hydatidiform

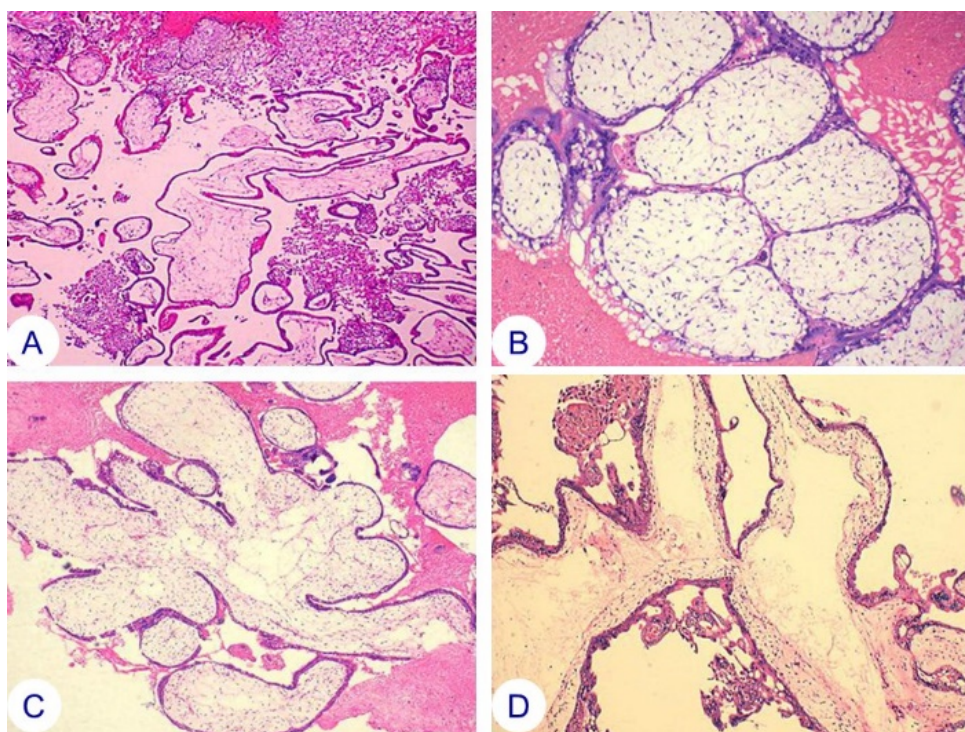
图 1. 完全性水泡状胎块



早早期。A. 弥漫性绒毛水肿不著，绒毛间质血管消失，可见细胞成分；B. 弥漫性滋养细胞增生；C. p57 阴性；D. 细胞滋养层 ki-67 阳性指数 80%以上。

Figure 2. Complete hydatidiform

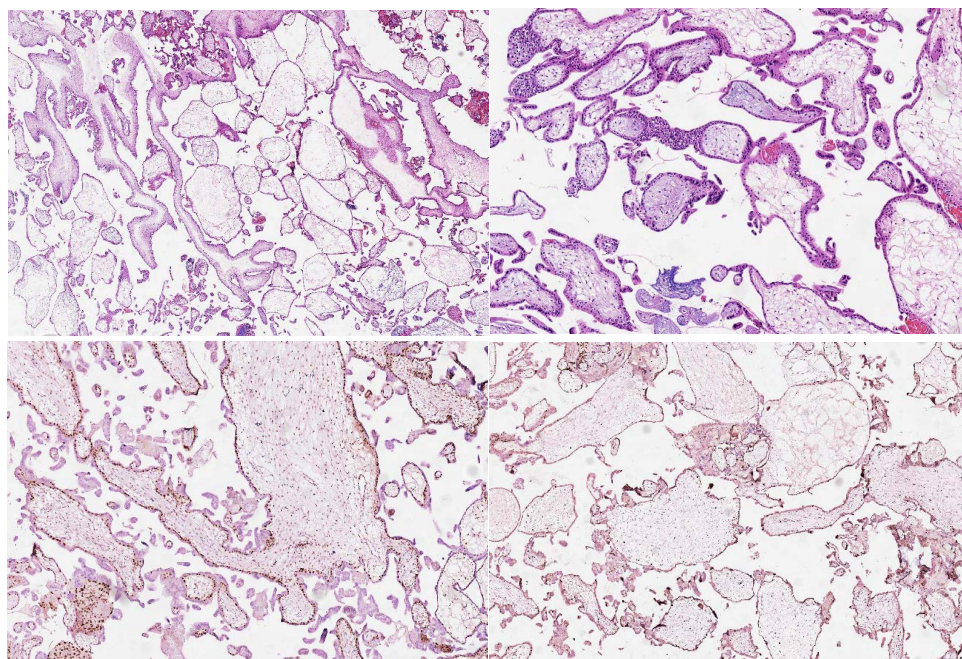
图 2. 完全性水泡状胎块



A. 部分绒毛水肿，部分无水肿；B. 水肿绒毛息肉状，C. 水肿绒毛不规则分枝，D. 水肿绒毛有中心池绒毛的滋养细胞结节状增生，细胞有异型性。

Figure 3. Partial hydatidiform moles

图 3. 部分性水泡状胎块



A. 部分绒毛水肿，部分水肿不明显，间质血管消失，几无细胞成分；B. 增生的滋养细胞位于一端，有一定极性；C. p57 阳性；D. 细胞滋养层 ki-67 阳性指数极低，仅 1%~2%。

Figure 4. Hydropic abortion

图 4. 绒毛水肿

Table 1. Comparison of pathological diagnosis to p57 genetic expression**表 1.** 组织病理诊断与 p57 基因表达比对

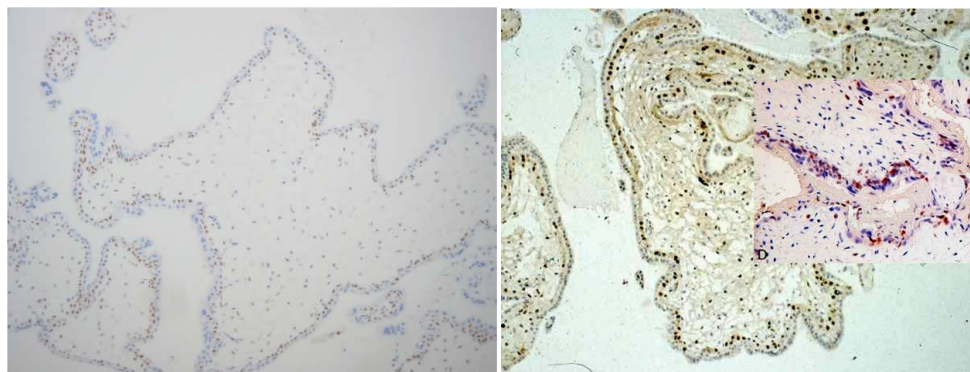
组织病理诊断		p57 基因表达结果			合计	P 值
		+	++	+++		
完全性水泡状胎块	45	1	0	0	46	
部分性水泡状胎块	1	10	15	6	32	
绒毛水肿	0	0	4	6	10	
正常绒毛组织	0	0	0	10	10	
合计	46	11	19	22	98	<0.001*

*Fisher 确切概率法获得。

Table 2. Comparison of pathological types of CHM to p57 genetic expression**表 2.** 完全性水泡状胎块分型与 p57 基因表达比对

组织病理诊断		p57 基因表达结果			合计	P 值
		+	++	+++		
经典型	15	1	0	0	16	
早期	22	0	0	0	22	
早早期	8	0	0	0	8	
合计	45	1	0	0	46	0.341

*Fisher 确切概率法获得。



A. 完全性水泡状胎块 p57 阴性; B. 部分性水泡状胎块 p57 阳性检查

Figure 5. Detection of p57**图 5.** p57 检测

3.4. ki-67 表达的检测结果

ki-67 阳性染色定位于细胞滋养层细胞核，阳性细胞核出现清晰的棕黄色颗粒，每例随机计数 10 个绒毛的阳性数和细胞滋养层总数(图 6)，求其百分比。ki-67 检测结果见表 3、表 4。

3.5. 统计学结果

如表 1 所示，p57 在部分性水泡状胎块中的阳性率为(92.86%)，显著高于完全性水泡状胎块(14.10%) ($P < 0.01$)。p57 蛋白在完全性水泡状胎块的少数病例中表达，且主要呈弱阳性，在部分性水泡状胎块

中的表达以强阳性为主, 应用 Ridit 分析 p57 在二者中表达强度差异, 结果显示, p57 蛋白在部分性水泡状胎块中的表达强度显著高于完全性水泡状胎块($P < 0.01$)。

Table 3. Comparison of pathological diagnosis to ki-67 expression

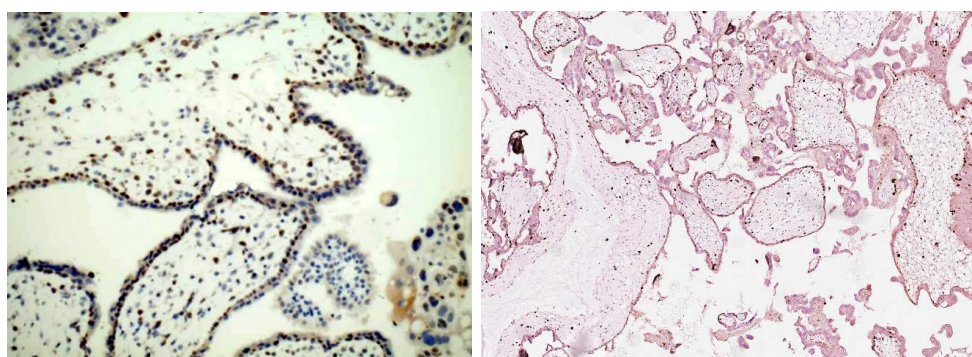
表 3. 组织病理诊断与 ki-67 表达比对

组织病理诊断		ki-67 表达结果			合计
		+	++	+++	
完全性水泡状胎块	0	0	11	35	46
部分性水泡状胎块	0	5	24	3	32
绒毛水肿	10	0	0	0	10
正常绒毛组织	0	9	1	10	10
合计	10	14	36	48	98

Table 4. Comparison of pathological types of CHM to ki-67 expression

表 4. 完全性水泡状胎块分型与 ki-67 表达比对

组织病理诊断		ki-67 表达结果			合计
		+	++	+++	
经典型	0	0	9	7	16
早期	0	0	7	15	22
早早期	0	0	0	8	8
合计	0	0	16	30	46



A. CHMki-67 阳性 60%~80%; B. 绒毛水肿 ki-67 阳性 2%~4%。

Figure 6. Comparison of CHM to HA in ki-67 expression

图 6. 完全性水泡状胎块与绒毛水肿 ki-67 表达

如表 3 所示, ki-67 在部分性水泡状胎块中的阳性率为(92.86%), 显著高于完全性水泡状胎块(14.10%) ($P < 0.01$)。ki-67 在完全性水泡状胎块的少数病例中表达, 且主要呈弱阳性, 在部分性水泡状胎块中的表达以强阳性为主, 应用 Ridit 分析 ki-67 在二者中表达强度差异, 结果显示, ki-67 在部分性水泡状胎块中的表达强度显著高于完全性水泡状胎块($P < 0.01$)。

4. 讨论

水泡状胎块是一组与妊娠相关的滋养细胞疾病, 是否为肿瘤性疾病仍有争论, 但具有一定的恶变倾

向。以雌异配体性或雄性异型的或雄性异型的发生(diandric diploid conceptus)分为完全性水泡状胎块(complete hydatidiform moles, CHM)和部分性水泡状胎块(partial hydatidiform moles, PHM)两种类型[1] [2] [3]。两者在肉眼、显微镜下的特点、核型及临床表现差别较大。测定血清 HCG 和彩超影像学检查对水泡状胎块有重要诊断意义。水泡状胎块患者 hCG 量远较正常值为高且持续为高水平,甚至高达 20 万 mIU/ml,最高可高达 1500~2000 KIU/L,清宫后持续不降。平均在清宫后 8 W 降至不可测出水平,最长不超过 12~14 W。完全性水泡状胎块彩色超声检查可见典型的落雪状或蜂窝状回声,不见羊膜及胎儿。而部分性水泡状胎块可见由水泡状胎块所引起的超声图像改变及胎儿或羊膜腔,胎儿常合并畸形。

水泡状胎块以末次月经第一日延后 2 周为起始日,刮宫时间为终止日,完全性水泡状胎块分为经典型、早期和早早期。近年来随着女性保健意识的提高,患者就诊意识增强,使得大部分怀疑水泡状胎块病人得到手术干预提前,早和早早期患者比数明显增加。经典型水泡状胎块通过传统的组织病理学方法绝大部分可做出诊断。而早期和早早期水泡状胎块的组织学改变不明显,导致病理医生在水泡状胎块的早期诊断上遇到困难[1] [7]。并使得完全性水泡状胎块和部分性水泡状胎块诊断和分类不明确,尤其对早期和早早期患者,从而造成临床上的治疗方案制定不合理或过度治疗,进一步影响治疗措施的制定。

上世纪 70 年代,宋鸿钊教授提出通过清宫后随访临床表现和定期检测 hCG 预测水泡状胎块的预后,随访时间一般 2 年[9]。这种预测方法对判断水泡状胎块的预后有一定意义,但存在时间滞后的问题。因此对水泡状胎块的早期诊断并且正确区分类型对临床治疗及疾病预后有很大指导意义。目前,国外的目光已投向利用组织学检查同时进行相关基因表达谱的检测来提高水泡状胎块诊断的准确性[11]。

p57、倍体分析诊断水泡状胎块可靠且客观。p57 又叫有丝分裂抑制因子,为细胞周期抑制因子和肿瘤抑制因子[1]。该基因来自父亲的等位基因是沉默的,不表达,只有来自母亲的等位基因才表达。由于完全性水泡状胎块缺乏母方基因,p57 阴性,而部分性水泡状胎块有父母双方基因,p57 呈阳性表达。蜕膜细胞、正常胎盘细胞滋养叶细胞、中间型滋养叶细胞及绒毛间质细胞阳性;而完全性水泡状胎块细胞滋养叶细胞和绒毛间质细胞阴性。因此,免疫组化检测 p57 可作为早期水泡状胎块妊娠诊断及鉴别诊断的标记物[1] [2] [3]。Jun 等[10]应用 SP 法检测了 51 例病理形态学是完全性水泡状胎块和 7 例部分性水泡状胎块,p57 蛋白在细胞滋养层(CTs)和绒毛间质(VMs)的细胞核中表达,前者均为 1.9%阳性,而后者分别为 100%、85.7%阳性。随后美国学者 McConnell 分析了 68 例水泡状胎块(HM),对形态学基础上诊断不同类型的 HM 同时进行了 p57K1P2 蛋白免疫组化和 DNA 倍体分析,一致率为 65/68 (95.6%),这进一步说明了 p57 免疫组化染色标记在 CM 和 PMM 鉴别中的敏感性和特殊性。

本研究显示,几乎所有完全性水泡状胎块细胞滋养细胞和绒毛间质细胞的核均阴性,p57 在完全性水泡状胎块中不表达或呈现弱表达,而在部分性水泡状胎块中,p57 的表达明显。经统计学分析,p57 表达在二者之间均存在显著性差异($P < 0.01$),对早期和早早期 CHM 的诊断更为重要,可以作为一种重要的辅助意义。

在判读 p57 阳性时应注意,绒毛间的细胞阳性不影响完全性水泡状胎块的诊断,这是由于这些细胞可能是中间型滋养层细胞,或受到母体激素的影响,发生了母性化;约 1%~3%的完全性水泡状胎块绒毛细胞滋养层阳性,有作者认为这种完全性水泡状胎块保留母体染色体 6 和 11 [3],或捐卵患者,故 p57 可阳性。

ki-67 是目前在国际上研究较多的一个细胞增殖标记物,是双链的大分子 DNA 结合蛋白,表达部位在细胞核,是一种针对处于增殖周期的人类细胞核抗原,其表达范围覆盖除 G0 期以外的各增殖周期细胞,与增生密切相关。因其半衰期短,故可作为反映细胞群体增殖活性的指标[12] [13]。Kale 的研究发现,ki-67 阳性指数在自然流产 4.7%,部分性水泡状胎块 29%,完全性水泡状胎块 60%,浸润性水泡状胎块 75%,故提出[12],ki-67 对正常绒毛、部分性水泡状胎块及完全性水泡状胎块的鉴别诊断具有重要

的参考价值。

本研究发现在水泡状胎块增生的绒毛组织中, ki-67 主要见于绒毛内层的细胞滋养层细胞, 少数 IT 可见阳性染色, ST 均为阴性, 但 ki-67 在 CHM 中着色程度高于 PHM, 这种差异在 CT 中尤为明显, 统计分析结果也提示 ki-67 在 CHM 与 PHM 之间均存在显著性差异($P < 0.05$)。但是, 在完全性水泡状胎块的底线和部分性水泡状胎块的高线有重叠, 表明 ki-67 阳性表达对区别完全性和部分性水泡状胎块应结合 p57 的表达情况来确定, 具有参考价值。而在部分性水泡状胎块和绒毛水肿的鉴别有重要意义, 绒毛水肿阳性指数低于 10%, 甚至 1%~5%, 而在部分性水泡状胎块高于 10%。因此我们认为, ki-67 在水泡状胎块中的表达情况对于鉴别部分性水泡状胎块和绒毛水肿更为重要。如果为高表达, 表明滋养细胞增生活跃, 再次发生宫腔残留、滋养细胞再生、继发侵袭性葡萄胎及绒癌的可能较大, 也就是说, 在第一次清宫标本 ki-67 高表达的患者, 应进行第二次刮宫, 并结合病史、彩超、HCG 等情况, 进行预防性化疗, 因此, 认为 ki-67 可以作为指导预后和预防性化疗的指标。

肿瘤的发生是一个长期的分阶段的、多基因突变积累的过程。正常妊娠的胎盘滋养层细胞具有类似肿瘤细胞的浸润性生长的生物学特性, 本研究对 p57 和 ki-67 在妊娠滋养细胞疾病中表达的情况及其生物学意义进行研究, 发现 p57 和 ki-67 的表达可以作为葡萄胎的早期诊断和分类的辅助指标之一, 并指导其预后及辅助性化疗和治疗随诊方案的制定。

参考文献

- [1] Fisher, R.A., Nucci, M.R. and Thaker, H.M. (2004) Complete Hydatidiform Mole Retaining a Chromosome 11 of Maternal Origin: Molecular Genetic Analysis of a Case. *Modern Pathology*, **17**, 1155-1160. <https://doi.org/10.1038/modpathol.3800175>
- [2] Lelic, M., Fatusic, Z., Iljazovic, E., et al. (2017) Challenges in the Routine Praxis Diagnosis of Hydatidiform Mole: A Tertiary Health Center Experience. *Medical Archives*, **71**, 256-260.
- [3] McConnell, T.G. and Norris-Kirby, A. (2009) Complete Hydatidiform Mole with Retained Maternal Chromosomes 6 and 11. *The American Journal of Surgical Pathology*, **33**, 1409-1415. <https://doi.org/10.1097/PAS.0b013e3181a90e01>
- [4] Genest, D.R. (2001) Partial Hydatidiform Mole: Clinicopathological Features, Differential Diagnosis, Ploidy and Molecular Studies, and Gold Standards for Diagnosis. *International Journal of Gynecological Pathology*, **20**, 315-322. <https://doi.org/10.1097/00004347-200110000-00001>
- [5] Eysbouts, Y.K., Bulten, J., Ottevanger, P.B., et al. (2016) Trends in Incidence for Gestational Trophoblastic Disease over the Last 20 Years in a Population-Based Study. *Gynecologic Oncology*, **140**, 70-75. <https://doi.org/10.1016/j.ygyno.2015.11.014>
- [6] Sánchez-Ferrer, M.L., Ferri, B., Almansa, M.T., et al. (2009) Partial Mole with a Diploid Fetus: Case Study and Literature Review. *Fetal Diagnosis and Therapy*, **25**, 354-358. <https://doi.org/10.1159/000235885>
- [7] Paul, M., Goodman, S., Felixd, J., et al. (2010) Early Molar Pregnancy: Experience in a Large Abortion Service. *Contraception*, **81**, 150-156. <https://doi.org/10.1016/j.contraception.2009.08.007>
- [8] Hui, P., Gersel, D., Baergen, R., et al. (2014) Molar Pregnancies. In: Kerman, R.J., Carcangiu, M.L., Herington, S., et al., Eds., *WHO Classification of Tumours of Female Reproductive Organs*, 4th Edition, IARC, 163-167.
- [9] 宋鸿钊, 等. 滋养细胞肿瘤的诊断和治疗[J]. 北京: 人民卫生出版社, 1981: 26.
- [10] Jun, S.Y., Ro, J.Y. and Kim, K.R. (2003) p57kip2 Is Useful in the Classification and Differential Diagnosis of Complete and Partial Hydatidiform Moles. *Journal of Urology*, **43**, 17-25.
- [11] McConnell, T.G., Murphy, K.M. and Hafez, M. (2009) Diagnosis and Subclassification of Hydatidiform Moles Using p57 Immunohistochemistry and Molecular Genotyping: Validation and Prospective Analysis in Routine and Consultation Practice Settings with Development of an Algorithmic Approach. *The American Journal of Surgical Pathology*, **33**, 805-817. <https://doi.org/10.1097/PAS.0b013e318191f309>
- [12] Chevillie, J.C. and Robinson, R. (1996) Evaluation ki-67 (MIB-1) in Placentas with Hydropic Change and Partial and Complete Hydatidiform Mole. *Pediatric Pathology & Laboratory Medicine*, **16**, 41-50.
- [13] Kale, A., Söylemez, F. and Ensari, A. (2001) Expressions of Proliferation Markers ki-67, Proliferating Cell Nuclear Antigen, and Silver-Staining Nucleolar Organizer Regions and of p53 Tumor Protein in Gestational Trophoblastic Disease. *American Journal of Obstetrics & Gynecology*, **184**, 567-574. <https://doi.org/10.1067/mob.2001.111243>

知网检索的两种方式：

1. 打开知网页面 <http://kns.cnki.net/kns/brief/result.aspx?dbPrefix=WWJD>
下拉列表框选择：[ISSN]，输入期刊 ISSN：2161-8712，即可查询
2. 打开知网首页 <http://cnki.net/>
左侧“国际文献总库”进入，输入文章标题，即可查询

投稿请点击：<http://www.hanspub.org/Submission.aspx>

期刊邮箱：acm@hanspub.org